

Сильно нелинейные колебания линейного осциллятора

Наталья Сергеевна Штацкая¹, Петр Иванович Хаджи^{2,3}

1. Тираспольская гуманитарно-математическая гимназия,

Молдова, Тирасполь, пер. Бочковского 2, 3300, e-mail: natali_novickaya@mail.ru

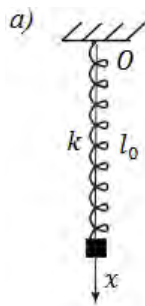
2. Приднестровский государственный университет им. Т.Г. Шевченко,

Молдова, Тирасполь, ул. 25 Октября 128, 3300

3. Институт прикладной физики Академии наук Молдовы,

Молдова, Кишинев, ул. Академическая 5

Простой пружинный маятник состоит из грузика массой m , прикрепленного к свободному концу невесомой пружинки с коэффициентом упругости k , второй конец которой неподвижно закреплен в точке O (рис. 1а).



Маятник расположен на абсолютно

Рис. 1. а) Пружинный маятник в режиме продольных колебаний вдоль оси пружинки Ox . гладком горизонтальном столе. В положении равновесия пружинка недеформирована и имеет длину l_0 . При небольшом смещении x ($x \ll l_0$) грузика из положения равновесия вдоль оси пружинки Ox в системе возникает возвращающая сила $\vec{F} = -k\vec{x}$, пропорциональная величине смещения x и направленная в сторону, противоположную смещению. Под действием этой силы маятник, предоставленный самому себе, совершает линейные, гармонические колебания вдоль оси Ox с частотой $\omega_0 = \sqrt{k/m}$, которые описываются зависящей от времени t функцией $x = x_0 \cos \omega_0 t$, где x_0 - начальное смещение грузика из положения равновесия. Частота колебаний ω_0 определяется только массой грузика m и коэффициентом упругости k пружинки и не зависит от начальных условий. В этой модели пружинного маятника колебания (смещения) грузика происходят вдоль оси пружинки и в этом смысле мы назовем их продольными колебаниями.

Вместе с тем, большой интерес представляет исследование возможности существования нелинейных колебаний

линейного пружинного маятника, не связанные поправкой к коэффициенту упругости k при больших смещениях грузика из положения равновесия, зависящей от смещения x . Мы по-прежнему считаем, что коэффициент упругости пружинки k является постоянным, не зависящим от смещения грузика.

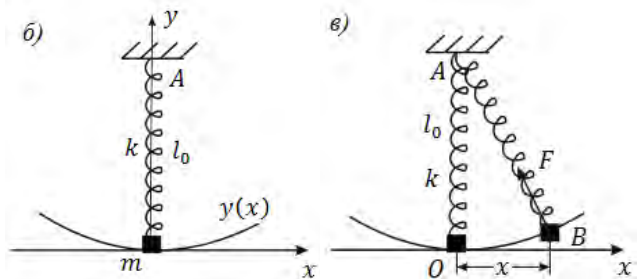


Рис. 1. Пружинный маятник в режиме поперечных колебаний вдоль параболической направляющей $y(x)$ б) в положении равновесия и в) при перемещении из положения

Оказывается, такая возможность реализуется при наложении дополнительных условий на направление движения грузика. Мы предполагаем, что грузик маятника перемещается без трения вдоль криволинейной направляющей, проходящей через точку $O(0,0)$ (рис.1 б,в).

На рис.1 б,в представлен маятник в положении равновесия и при отклонении от положения равновесия соответственно. Мы считаем, что направляющая имеет параболическую форму и описывается уравнением $y = x^2/(2l_0)$, где x - проекция смещения грузика на ось Ox , перпендикулярная оси пружинки Oy . Другим концом пружинка крепится неподвижно в точке $A(0, l_0)$.

Будем рассматривать малые колебания маятника в рамках линейного закона Гука, критерием справедливости которого является неравенство: $x \ll l_0$. При смещении грузика из точки $O(0,0)$ в точку $B(x, x^2/(2l_0))$ пружинка удлиняется на величину $\Delta l = l - l_0$, где l - длина

деформированной пружинки в положении BA , равная $l = \sqrt{(l_0 - x^2/(2l_0))^2 + x^2}$. При этом в пружинке возникает сила упругости $F = k \cdot \Delta l = kl_0(\sqrt{1 + x^4/(4l_0^4)} - 1)$. Раскладывая выражение для силы упругости в ряд по малой переменной $(x/(2l_0))^2$, получаем $F = kx^4/(8l_0^3)$. Проекция F_x этой силы на ось Ox является возвращающей силой, действующей на грузик. Она определяется выражением $F_x = F \cdot x/l_0 = kx^5/(8l_0^4)$. (1)

Отсюда видно, что возвращающая сила F_x пропорциональна пятой степени смещения x из положения равновесия и также направлена в сторону, противоположную смещению. Возвращающая сила является существенно нелинейной, хотя она и получена в рамках справедливости линейного закона Гука для пружинки. Нелинейность в этом случае не связана с отклонением от линейного закона Гука при увеличении деформации пружинки, а обусловлена только геометрией задачи, то есть тем, что направление движения грузика перпендикулярно направлению оси пружинки, находящейся в положении равновесия (рис.1б). Поэтому полученная нелинейность может быть названа геометрической нелинейностью.

Используя второй закон Ньютона, можно записать уравнение, описывающее динамику грузика:

$$m\ddot{x} + k/(8l_0^4) \cdot x^5 = 0. \quad (2)$$

Это уравнение не содержит линейного по смещению слагаемого. Поэтому его решения не будут обладать предельным переходом к линейному маятнику. Нелинейность полностью определяет движение грузика даже при сколь угодно малых смещениях из положения равновесия.

Первый интеграл движения уравнения (2) имеет вид: $m\dot{x}^2/2 + kx^6/(48l_0^4) =$

$$mv_0^2/2 + kx_0^2/(48l_0^4), \quad (3)$$

где x_0 и v_0 – начальные смещение и скорость грузика соответственно. Выражение (3) представляет собой закон сохранения энергии: сумма кинетической и потенциальной энергий маятника сохраняется. Здесь

$$П = kx^6/(48l_0^4) \quad (4)$$

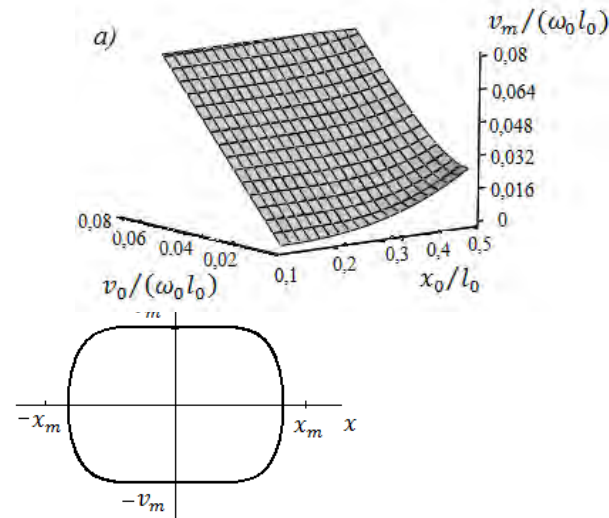


Рис.2. График зависимости скорости грузика v от смещения x .

является потенциальной энергией нелинейного осциллятора. Вводя частоту колебаний линейного осциллятора $\omega_0^2 = k/m$, выражение (3) можно записать в виде

$$v^2 + \omega_0^2 x^6/(24l_0^4) = v_0^2 + \omega_0^2 x_0^6/(24l_0^4), \quad (5)$$

где $v = dx/dt$ – скорость движения грузика. На рис.2 представлена зависимость скорости движения v от смещения x .

Видно, что имеет место заметное искажение зависимости $v(x)$ по сравнению с аналогичной кривой в линейном режиме. Скорость изменяется в пределах от $-v_m$ до $+v_m$, а смещение – от $-x_m$ до $+x_m$, где v_m и x_m максимальные значения скорости и смещения грузика соответственно, которые выражаются формулами

$$\begin{aligned} x_m^6 &= x_0^6 + 24l_0^4 v_0^2/\omega_0^2, \\ v_m^2 &= v_0^2 + \omega_0^2 x_0^6/(24l_0^4). \end{aligned} \quad (6)$$

Величины v_m и x_m определяются начальными значениями скорости v_0 и смещения x_0 , а также параметрами маятника ω_0 и l_0 . Между величинами v_m и x_m существует нелинейная связь: $v_m = \omega_0 x_m^3/(2\sqrt{6}l_0^2)$. На рис.3 а,б представлены графики зависимости максимальной скорости $v_m/(\omega_0 l_0)$ и максимального смещения x_m/l_0 от начальной скорости $v_0/(\omega_0 l_0)$ и начального смещения x_0/l_0 . Видно, что v_m и x_m монотонно растут с ростом v_0 и x_0 .

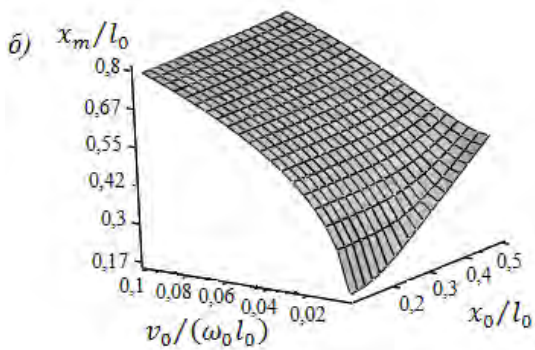


Рис.3. Зависимость *a)* максимальной скорости v_m и *б)* максимального смещения x_m от начального смещения и начальной скорости.

Из рис.2 видно, что связь между v и x представляется в виде замкнутой кривой. Поэтому колебания маятника, как и в линейном случае, являются периодическими. Решение уравнения (2) при начальных условиях $x_0 \neq 0, v_0 = 0$ представляется в виде

$$x = x_0 \frac{cn(\sqrt[4]{3}\tau)}{\sqrt{cn^2(\sqrt[4]{3}\tau) + \sqrt{3}sn^2(\sqrt[4]{3}\tau)dn^2(\sqrt[4]{3}\tau)}}, \quad (7)$$

где $\tau = t\tau_0^{-1}$, $\tau_0^2 = 24l_0^4/(\omega_0^2 x_0^4)$, $cn\varphi, sn\varphi, dn\varphi$ - эллиптические функции Якоби с модулем p [1,2], равным $p^2 = 1/2 \cdot (1 - \sqrt{3}/2)$. Следовательно, смещение x периодически изменяется с периодом T , равным

$$T = 8\sqrt{6}/\sqrt[4]{3} \cdot l_0^2/(\omega_0 x_0^2) \cdot K(p), \quad (8)$$

где $K(p)$ - полный эллиптический интеграл первого рода с модулем p [1,2].

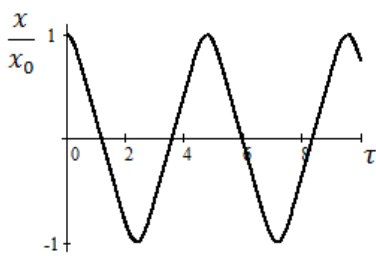


Рис.4. Зависимость смещения груза от времени.

На рис.4 представлены колебания груза относительно положения равновесия $x = 0$ в зависимости от времени. Соответственно периодически изменяются как скорость $v(t)$, так и ускорение $\dot{x}(t)$. Из (8) видно, что период колебаний определяется начальным смещением x_0 груза и длиной l_0 недеформированной пружинки. Если сравнить период поперечных

колебаний T с периодом $T_0 = 2\pi/\omega_0$ продольных линейных колебаний, то находим

$$T/T_0 = 4\sqrt{6}/(\sqrt[4]{3}\pi) \cdot (l_0/x_0)^2 K(p). \quad (9)$$

На рис.5 представлена зависимость отношения T/T_0 от начального смещения груза x_0 . При уменьшении x_0 период быстро растет и обращается в бесконечность при $x_0 \rightarrow 0$.

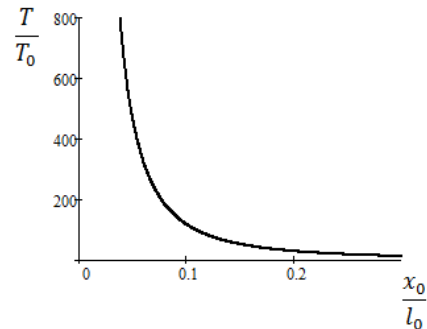


Рис.5. Зависимость периода колебаний T маятника от начального смещения груза.

Решение уравнения (3) при начальных условиях $x_0 = 0, v_0 \neq 0$ имеет вид

$$x = x_m \cdot \frac{sn(\sqrt[4]{3}\tau)dn(\sqrt[4]{3}\tau)}{\sqrt{(\sqrt{3}cn^2(\sqrt[4]{3}\tau) + sn^2(\sqrt[4]{3}\tau)dn^2(\sqrt[4]{3}\tau))}}, \quad (10)$$

где $\tau = t\tau_0^{-1}$, $\tau_0 = 2\sqrt{6}l_0^2/(\omega_0 x_m^2)$, $x_m^6 = 24l_0^4 v_0^2/\omega_0^2$, модуль эллиптических функций $p^2 = 1/2 \cdot (1 - \sqrt{3}/2)$. Отсюда также видно, что смещение маятника периодически изменяется со временем с периодом T , равным

$$T = 8\sqrt{6}/\sqrt[4]{3} \cdot l_0^2/(\omega_0 x_m^2) \cdot K(p), \quad (11)$$

где x_m - максимальное смещение груза из положения равновесия. Период колебаний маятника зависит от начальной скорости v_0 груза пропорционально $v_0^{-2/3}$, то есть период монотонно убывает с ростом v_0 . Таким образом, из (9) и (11), следует что период колебаний груза обращается в бесконечность при $x_0 \rightarrow 0$ и $v_0 \rightarrow 0$.

В общем случае, при $x_0 \neq 0$ и $v_0 \neq 0$, решение уравнения (3) имеет вид

$$x = x_m \frac{sn(\sqrt[4]{3}\tau \pm c)dn(\sqrt[4]{3}\tau \pm c)}{\sqrt{\sqrt{3}cn^2(\sqrt[4]{3}\tau \pm c) + sn^2(\sqrt[4]{3}\tau \pm c)dn^2(\sqrt[4]{3}\tau \pm c)}}, \quad (12)$$

где $\tau = t\tau_0^{-1}$, $\tau_0 = 2\sqrt{6}l_0^2/(\omega_0 x_m^2)$, $c = 1/2 \cdot F(\varphi_0, p)$,

$$\varphi_0 = \arccos\left(\frac{1 - (\sqrt{3} + 1)x_0^2/x_m^2}{1 + (\sqrt{3} - 1)x_0^2/x_m^2}\right).$$

Функция $F(\varphi_0, p)$ является неполным эллиптическим интегралом первого рода с модулем $p = 1/2 \cdot (1 - \sqrt{3}/2)$ и параметром φ_0 . Период колебаний по-прежнему определяется формулой (11). Знаки (+) и (-) в аргументах эллиптических функций в (12) обусловлены направлением начальной скорости v_0 по отношению к начальному смещению x_0 . Параметр c играет роль фазового сдвига решения, который зависит от x_0 и v_0 . Легко видеть, что $c = \pi/2$ при $x_0 = 0$ и $v_0 \neq 0$ и соответственно $c = 0$ при $x_0 \neq 0$ и $v_0 = 0$ и решение (12) сводится к решениям (7) и (10). При произвольных значениях x_0 и v_0 для заданного момента времени t имеются два решения для $x(t)$, которые отличаются знаками перед фазой c в аргументах эллиптических функций, что обусловлено изменением направления начальной скорости v_0 .

Таким образом, мы показали, что физически линейный пружинный маятник может совершать нелинейные колебания благодаря геометрической нелинейности. При этом период и амплитуда колебаний существенно зависят от начального смещения и начальной скорости груза. Полученные результаты свидетельствуют о том, что предельный переход к линейным колебаниям отсутствует. При любых начальных условиях колебания остаются нелинейными. Нелинейность полностью определяет движение груза даже при сколь угодно малых смещениях из положения равновесия.

Литература.

1. И.С. Градштейн, И.М. Рыжик. Таблицы интегралов, сумм, рядов и произведений. ГИФМЛ, М., 1963.
2. Г.Корн, Т.Корн. Справочник по математике для научных работников и инженеров. Изд. «Наука», М., 1968.